

抑癌基因 p27^{Kip1}对肝癌细胞增生及DNA合成的影响

安家泽, 董宏林, 窦科峰

安家泽, 窦科峰, 中国人民解放军第四军医大学西京医院肝胆外科
陕西省西安市 710032
董宏林, 山西医科大学第二医院肝胆外科 山西省太原市 030001
项目负责人: 安家泽, 710032, 陕西省西安市长乐西路17号, 中国人民解放军第四军医大学西京医院肝胆外科. anchen@fmmu.edu.cn
电话: 029-83375259
收稿日期: 2004-12-10 接受日期: 2005-01-08

摘要

目的: 探讨抑癌基因 p27^{Kip1} 对肝癌细胞的抑制作用.

方法: 利用脂质体介导法将真核表达载体 pcDNA3.1/Myc-His(+)-C-p27^{Kip1} 基因导入肝癌细胞株 HHCC 细胞中, 经 G418 筛选获得稳定表达的细胞克隆, 用 MTT、³H-TdR 摄入法和克隆形成实验观察抑癌基因 p27^{Kip1} 对肝癌细胞增生及 DNA 合成的影响, 电子显微镜技术探讨过表达的 p27^{Kip1} 抑制肝癌细胞生长的可能机制.

结果: 抑癌基因 p27^{Kip1} 对肝癌细胞增生及 DNA 合成均有明显抑制作用, 抑制率达 56% ($P < 0.01$ vs 转染空载体组), 电镜结果显示肝癌细胞发生凋亡.

结论: 抑癌基因 p27^{Kip1} 可能通过诱导肝癌细胞凋亡抑制肝癌细胞生长.

安家泽, 董宏林, 窦科峰. 抑癌基因 p27^{Kip1} 对肝癌细胞增生及 DNA 合成的影响. 世界华人消化杂志 2005;13(4):548-550
<http://www.wjnet.com/1009-3079/13/548.asp>

0 引言

p27^{Kip1} 是在转化生长因子(TGF-β) 处理的生长抑制细胞及接触生长抑制的细胞株中, 发现的一种相对分子质量(M_r) 为 27 000 的耐热细胞周期抑制蛋白^[1]. p27^{Kip1} 作为一种调控细胞周期的枢纽蛋白, 可以多种方式调节肿瘤细胞的增生或凋亡. 近年研究发现, p27^{Kip1} 基因及其产物对于细胞的生长有着极其重要的调控作用, 是一种潜在的抑癌基因, 因此它的抗癌机制成为生物医学领域重要的研究课题. 我们研究采用体外细胞培养法, 结合细胞转染、MTT、³H-TdR 摄入法和克隆形成实验、电子显微镜等研究 p27^{Kip1} 对肝癌细胞株 HHCC 细胞增生的抑制作用及其可能的机制.

1 材料和方法

1.1 材料 人肝癌细胞 HHCC 为第四军医大学病理教研室张传山博士惠赠. 插有正向 p27^{Kip1} cDNA 的 pcDNA3.1/Myc-His(+)-C-p27^{Kip1} 真核表达载体、pcDNA3.1/Myc-His(+)-C 空载体、大肠杆菌 DH5α 由本教研室保存. LipofectAM

INE-2000 转染试剂盒和 G418, 为美国 Gibco 公司产品. 带 myc 标签抗体、辣根过氧化物酶标记的二抗为北京中山公司产品. ³H-TdR 购于中国原子能研究院

1.2 方法

1.2.1 基因转染和细胞克隆筛选 用脂质体将 pcDNA3.1/Myc-His(+)-C-p27^{Kip1} 转染 HHCC 细胞, 并设转染空载体和不转染的 HHCC 细胞做对照, 48 h 后换用含 G418(600 μg/L) 的 RPMI1640 培养液继续培养. 约 14 d 左右未转染的细胞对照全部死亡, 待转染的细胞大多数死亡时, 收集 G418 抗性的细胞克隆, 扩大培养.

1.2.2 Western blot 检测 p27^{Kip1} 蛋白 配制 6% 的浓缩胶和 12% 的分离胶, 按 Bio-Rad 公司蛋白电泳系统的说明书进行 SDS-PAGE. 电泳后再电转印于硝酸纤维素膜上, 加一抗于 37°C 孵育 30 min, 缓冲液冲洗; 再加辣根过氧化物酶标记的二抗于 37°C 孵育 30 min, 以化学发光法显色拍照.

1.2.3 转染细胞的克隆化 将 G418 抗性的克隆消化并用培养液吹散, 准确计数后, 系列稀释至每 mL 含有 10 个细胞, 加入到 96 孔培养板中(100 μL/孔), 6 d 后, 观察并计数单克隆细胞孔, 取单克隆孔细胞用 Western blot 检测 p27^{Kip1} 蛋白表达. 连续多次克隆化, 直至所有的单克隆孔都出现 p27^{Kip1} 蛋白染色阳性.

1.2.4 MTT 试验 取生长状态良好的对数生长期细胞, 常规消化、计数及测定细胞活力, 用含 100 mL/L 胎牛血清的 RPMI1640 调整细胞浓度为 3×10^7 /L, 按 200 μL/孔接种于 96 孔板, 于 37°C、50 mL/L CO₂ 孵箱中培养, 每 3 d 换液体 1 次, 分别设置组 I : 空白对照; 组 II : 转 pcDNA3.1/Myc-His(+)-C 空载体; 组 III : 转 pcDNA3.1/Myc-His(+)-C-p27^{Kip1} 真核表达载体; 每组设置 24 个复孔, 每天检测 1 次, 每次 3 个复孔, 连续测量 8 d, 每孔测量前 4 h 加 MTT 20 μL/孔(5 g/L), 继续培养后弃去培养基, 加二甲基亚砜 100 μL/孔, 微型震荡器震荡 15 min, 在 490 nm 波长下用酶联免疫仪测定 A_{490nm} 值.

1.2.5 ³H-TdR 摄入实验 取对数生长期的肝癌细胞, 用含 100 mL/L 胎牛血清的 RPMI1640 调整细胞浓度为 2.5×10^7 /L, 按 200 μL/孔接种于 96 孔板, 于 37°C、50 mL/L CO₂ 孵箱中培养 60 h, 每孔加入 18.5 kBq (20 μL) ³H-TdR, 分别设置组 I : 空白对照; 组 II : 转 pcDNA3.1/Myc-His(+)-C 空载体; 组 III : 转 pcDNA3.1/Myc-His(+)-C-p27^{Kip1} 真核表达载体; 每组设置 3 个复孔, 继续培养 12 h 吸去培养基, 胰酶消化细胞, 用 ZT-III 型多孔细胞样品收集器收集细胞于 999 型纤维膜上, 红外线烤干加闪烁液, 于 Beckman LS-6500 液闪计数仪上计数.

1.2.6 软琼脂克隆形成实验 将p27^{Kip1}转染组、空载体转染组和未转染组细胞以每组600个细胞接种于60 mm含底层5 g/L琼脂糖和顶层3 g/L琼脂糖的软琼脂中;37℃培养箱中培养14 d;倒置显微镜下观察克隆形成情况.计算克隆形成率.

$$\text{软琼脂克隆形成率} = \frac{\text{克隆数}}{\text{接种细胞数}} \times 100\%$$

$$\text{抑制率} = \frac{\text{对照组克隆数} - \text{实验组克隆数}}{\text{对照组克隆数}} \times 100\%$$

1.2.7 电子显微镜方法检测凋亡 常规方法将p27^{Kip1}转染组、空载体转染组和未转染组细胞制成电镜标本,用透射电镜观察.

统计学处理 采用第四军医大学统计学教研室开发的SPLM医用统计软件包进行方差分析.

2 结果

2.1 HHCC细胞的G-418筛选 未转染的HHCC细胞在含G-418的培养液中8 d内全部离壁死亡,转染pcDNA3.1/Myc-His(+)-C-p27^{Kip1}组14 d时细胞绝大部分死亡,但可见散在生长的G-418抗性细胞克隆. Western blot结果显示转染pcDNA3.1/Myc-His(+)-C-p27^{Kip1}的HHCC细胞在分子量质为27.0 ku附近有1条明显的阳性带,而转染pcDNA3.1/Myc-His(+)-C空载体和未转染的HHCC细胞未见阳性条带(图1).

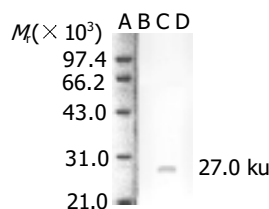


图1 p27^{Kip1}蛋白表达的Western blot检测. A: Protein marker; B: HHCC cells; C: HHCC cells transfected by pcDNA3.1/Myc-His(+)-C-p27^{Kip1}; D: Non-transfected cells.

2.2 MTT实验结果 pcDNA3.1-p27明显抑制HHCC增生($P<0.01$ vs pcDNA3.1),而pcDNA3.1与空白对照组(blank control)相比无差异($P>0.05$) (图2).

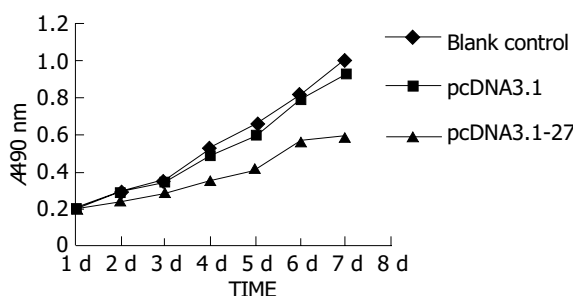


图2 pcDNA3.1-p27对HHCC增生的影响.

2.3 ³H-TdR实验结果 pcDNA3.1-P27对DNA合成($P<0.01$ vs pcDNA3.1)有明显抑制作用, Blank control与pcDNA3.1相比无差异($P>0.01$) (图3).

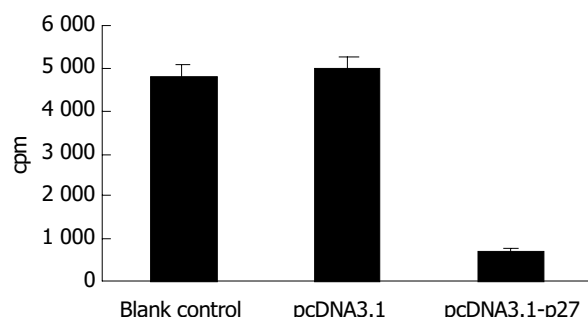


图3 pcDNA3.1-P27对HHCC DNA合成的影响.

2.4 p27^{Kip1}对HHCC细胞增生的影响(表1) 软琼脂克隆形成试验显示,过表达的p27^{Kip1}能够抑制HHCC细胞的生长.各实验组与对照组之间相比有显著性差异($P<0.01$, 表1).

表1 过表达的p27^{Kip1}对HHCC细胞的抑制率(%)

细胞类型	克隆数	克隆形成率(%)	抑制率(%)
未转染组	25 ± 3.3	8.33	
转染空载体组	23 ± 2.6	7.67	8.00
转染p27 ^{Kip1} 组	11 ± 1.2	3.67 ^b	56.00 ^b

^b $P<0.01$ vs 转染空载体组.

2.5 p27^{Kip1}对HHCC细胞凋亡的影响 正常的肝癌细胞(HHCC)表面可见许多小的绒毛突起,胞核为椭圆形,位于细胞中部,核膜双层结构清晰可见,胞质内可见到的细胞器为线粒体、内质网和溶酶体等.转染p27^{Kip1}基因组的HHCC细胞可见部分肝癌细胞体积明显缩小,胞核固缩,染色质致密,并边集于细胞核周边.细胞膜表面微绒毛消失,胞质中有空泡形成,是细胞凋亡的形态学改变(图4).

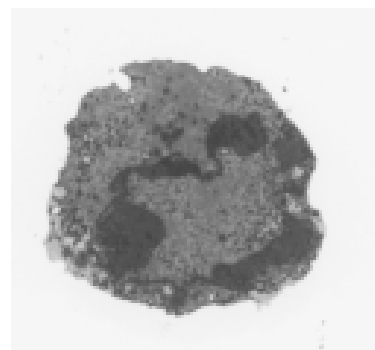


图4 肝癌细胞凋亡的形态学改变.

3 讨论

肿瘤的恶性增生是肿瘤细胞的永生化和细胞分裂的失控,而细胞周期调节蛋白在正常细胞的生长和肿瘤的发生发展

中起着重要的调控作用。p27^{Kip1}作为细胞周期抑制蛋白的成员之一，对肿瘤细胞的增生有一定的影响^[2]。为研究过表达的p27^{Kip1}对肝癌的抑制作用，我们采用基因转染的方法建立了过表达p27^{Kip1}的肝癌细胞模型。经Western Blot检测表明，最终克隆出来的转染细胞可100%表达p27^{Kip1}蛋白，成功地建立了过表达p27^{Kip1}蛋白的肝癌细胞株。

细胞周期素依赖性激酶(CDKs)是细胞周期进展的主要调节因子，因此也是肿瘤抑制性治疗的重要候选者。CDKs能够使Rb基因及其相关蛋白磷酸化，反过来又受到细胞周期素(cyclin)的水平、磷酸化和细胞周期素依赖性激酶抑制剂(CKIs)的控制^[3]。目前已经发现两大类CKIs，一类是INK4(CDK4的抑制剂)家族，成员有P16，P15，P18和P19，他们是cyclinD1与CDK4或CDK6形成的复合物的抑制剂；另一类是P21家族，包括P21，P27和P57，他们是控制G1/S转换的CDK的抑制剂^[4-5]。

P27通过与各种cyclin-CDK复合物相互作用，从而抑制他们的活性，获得对细胞周期的调控。生理状态下，P27主要是通过与cyclinE-CDK2复合物的相互作用，从而调节细胞从G1后期到S期。目前认为P27是TGF-β、cAMP及其他细胞外因子诱导细胞生长停滞的主要递质^[7]。在正常情况下，p27^{Kip1}在G₀/G₁期时表达增高，当细胞进入S期时则表达下降。虽然p27^{Kip1}能广泛抑制各种周期蛋白和周期抑制蛋白(CDK)的活性，但主要抑制细胞周期蛋白E-CDK2和细胞周期蛋白D-CDK4等G₁期激酶复合物，使细胞不能通过G₁期^[6]。细胞凋亡多数发生于细胞周期的G₁期、G₁晚期或S期^[8-9]，因此在G₁晚期表达的蛋白如p27^{Kip1}和p21^{Cip1}无疑会参与凋亡的进程。我们以体外培养的人肝癌细胞系为靶细胞，以抑癌基因p27^{Kip1}为目的基因，将构建的pcDNA3.1/Myc-His(+)-C-p27^{Kip1}真核表达质粒体外转染HHCC，用MTT、³H-TdR和

克隆形成实验观察到抑癌基因p27^{Kip1}对HHCC增生及其DNA合成均有明显抑制作用，抑制率约为56%。通过电子显微镜发现过表达的p27^{Kip1}能够诱导HHCC细胞凋亡，即对细胞凋亡有促进作用，从而抑制肿瘤细胞的生长。关于p27^{Kip1}抑制肝癌细胞生长的机制还有待于进一步的探讨。

4 参考文献

- Polyak K, Lee MH, Erdjument-Bromage H, Koff A, Roberts JM, Tempst P, Massague J. Cloning of p27kip1, a cyclin-dependent kinase inhibitor and a potential mediator of extracellular antimitogenic signals. *Cell* 1994;78:59-66
- Favrot M, Coll JL, Louis N, Negoescu A. Cell death and cancer: Replacement of apoptotic genes and inactivation of death suppressor genes in therapy. *Gene Ther* 1998;5:728-739
- Blagosklonny MV, Pardue AB. The restriction point of the cell cycle. *Cell Cycle* 2002;1:103-110
- Nath N, Wang S, Betts V, Knudsen E, Chellappan S. Apoptotic and mitogenic stimuli inactivate Rb by differential utilization of p38 and cyclin-dependent kinases. *Oncogene* 2003;22:5986-5994
- Bryja V, Pachernik J, Faldikova L, Krejci P, Pogue R, Nevriva I, Dvorak P, Hampl A. The role of p27(Kip1) in maintaining the levels of D-type cyclins in vivo. *Biochim Biophys Acta* 2004; 1691:105-116
- Shimizu T, Takahashi N, Tachibana K, Takeda K. Complex regulation of CDK2 and G1 arrest during neuronal differentiation of human prostatic cancer TSU-Pr1 cells by staurosporine. *Anticancer Res* 2001;21:893-898
- Kim TY, Kim WI, Smith RE, Kay ED. Role of p27(Kip1) in cAMP- and TGF-beta2-mediated antiproliferation in rabbit corneal endothelial cells. *Invest Ophthalmol Vis Sci* 2001;42:3142-3149
- de Koning JP, Soede-Bobok AA, Ward AC, Schelen AM, Antonissen C, van Leeuwen D, Lowenberg B, Touw IP. STAT3-mediated differentiation and survival of myeloid cells in response to granulocyte colony-stimulating factor: role for the cyclin-dependent kinase inhibitor p27(Kip1). *Oncogene* 2000; 19:3290-3298
- Alisi A, Leoni S, Piacentini A, Conti Devirgiliis L. Retinoic acid modulates the cell-cycle in fetal rat hepatocytes and HepG2 cells by regulating cyclin-CDK activities. *Liver Int* 2003; 23:179-186

编辑 张海宁